

بایواستراتیگرافی، رخساره‌ها و چینه‌نگاری سکانسی سازند

کلات در غرب حوضه کپه داغ

محمدحسن کاظمزاده^{۱*}، عباس صادقی^۲، محمدحسین آدابی^۳، هرمز قلاوند^۴

۱. دانشجوی دکترای چینه‌شناسی و فسیل‌شناسی، دانشکده علوم زمین، دانشگاه شهید بهشتی، تهران، ایران
۲. استاد دانشکده علوم زمین، دانشگاه شهید بهشتی، تهران، ایران
۳. استاد دانشکده علوم زمین، دانشگاه شهید بهشتی، تهران، ایران
۴. دکترای چینه‌شناسی و فسیل‌شناسی، شرکت ملی نفت، ایران

تاریخ دریافت: ۹۵/۰۵/۱۶

تاریخ پذیرش: ۹۵/۰۶/۲۸

چکیده

به منظور مطالعات بایواستراتیگرافی، تغییرات رخساره‌ای و چینه‌نگاری سکانسی سازند کلات در غرب حوضه کپه داغ دو برش چینه‌شناسی جوزک و چخماقلو انتخاب و نمونه‌برداری شده است. ضخامت سازند کلات در برش‌های چینه‌شناسی جوزک و چخماقلو به ترتیب ۱۵۸ و ۱۳۹ متر است و لیتوژوئی آن بهطور عمده از سنگ آهک‌های خاکستری تا قهوه‌ای رنگ و مقدار کمی مارن می‌باشد. در مطالعات بایواستراتیگرافی ضمن تشخیص ۱۵ گونه متعلق به ۳۲ جنس از فرامینیفرهای بنتیک و شش گونه متعلق به ۱۱ جنس از فرامینیفرهای پلانکتون، یک پهن‌زیستی تحت عنوان *Siderolites calcitrapoides-Sirtina orbitoidiformis Assemblage Zone* شناسائی و معروفی شد. سن سازند کلات در هر دو برش بر اساس پهن‌زیستی فوق و فسیل‌های موجود در آن مائستریشتن تعیین شد. مطالعات پتروگرافی منجر به شناسائی یک رخساره آواری و ۱۰ رخساره کربناته متعلق به چهار محیط جزر و مدی، لagon محصور و نیمه محصور، سدی و دریای باز شد که بر روی یک رمپ کربناته با شبیه کم تنشست شده‌اند. براساس تغییرات عمودی رخساره‌ها و شناسائی محیط‌های رسوبی، دو سکانس رسوبی تشخیص داده شد. سکانس رسوبی ۱ عمدتاً از رخساره‌های ابتدای دریای باز و سدی تشکیل شده و حداکثر پیشروی سطح آب در این سکانس توسط رخساره دریای باز حاوی اکینوئید و فرامینیفر پلانکتونی مشخص می‌شود. سکانس رسوبی ۲ عمدتاً از رخساره‌های محیط سدی غنی از بایوکلاست، اینترکلاست، فرامینیفر بنتیک و رودیست تشکیل شده و حداکثر پیشروی سطح آب دریا توسط رخساره بایوکلاست اکینوئید پکستون مشخص می‌شود. مقایسه روند تغییرات سطح آب دریا در منطقه مورد مطالعه با منحنی‌های تغییرات سطح آب جهانی و سطح آب صفحه عربی نشان می‌دهد رسوب‌گذاری سازند کلات به‌وضوح تحت تاثیر تغییرات سطح آب جهانی بوده است.

واژه‌های کلیدی: بایواستراتیگرافی، چینه‌نگاری سکانسی، رخساره، سازند کلات، حوضه کپه داغ.

مقدمه

این حوضه از شمال به فلات توران و گسل عشق‌آباد، از جنوب توسط رخنمون‌های ناپیوسته منشورهای فزاینده دریای پالئوتیس، از شرق توسط گسل هریرود و از غرب

حوضه رسوبی کپه داغ شامل بخش شمال شرقی ایران، شمال افغانستان و بخش وسیعی از ترکمنستان می‌باشد.

* نویسنده مرتبط: hasan.kazemzadeh@gmail.com

موقعیت جغرافیایی و راه‌های دسترسی به برش‌های مورد مطالعه

1. برش چینه‌شناسی جوزک: این برش در غرب حوضه کپه داغ واقع شده و مختصات جغرافیایی قاعده آن $۳۷^{\circ} ۲۵' ۰۵''$ طول شرقی و $۴۱^{\circ} ۱۲' ۰۵''$ عرض شمالی است. راه دسترسی به برش جوزک از طریق جاده اصلی شهر بجنورد-آشخانه به مسافت ۵۱ کیلومتر و سپس طی مسافت ۳۵ کیلومتر در مسیر جاده اصلی شهر آشخانه-گنبد کاووس و رسیدن به روستای جوزک می‌باشد. محل اندازه‌گیری و نمونه‌برداری برش جوزک در فاصله ۲ کیلومتری جنوب روستای جوزک واقع گردیده است (شکل ۱).

برش چینه‌شناسی چخماقلو: این برش نیز در غرب حوضه کپه داغ واقع گردیده و مختصات جغرافیایی قاعده آن $۳۷^{\circ} ۲۶' ۰۴''$ طول شرقی و $۴۲^{\circ} ۳۲' ۰۵''$ عرض شمالی است. راه دسترسی به این برش از طریق جاده اصلی شهر بجنورد-آشخانه به مسافت ۵۱ کیلومتر و سپس طی مسافت هشت کیلومتر در مسیر جاده اصلی شهر آشخانه-گنبد کاووس و رسیدن به روستای مهمانک است. محل اندازه‌گیری و نمونه‌برداری برش چخماقلو در فاصله یک کیلومتری جنوب تا جنوب غرب روستای چخماقلو که در ۱۲ کیلومتری جنوب روستای مهمانک قرار دارد، واقع شده است (شکل ۱).

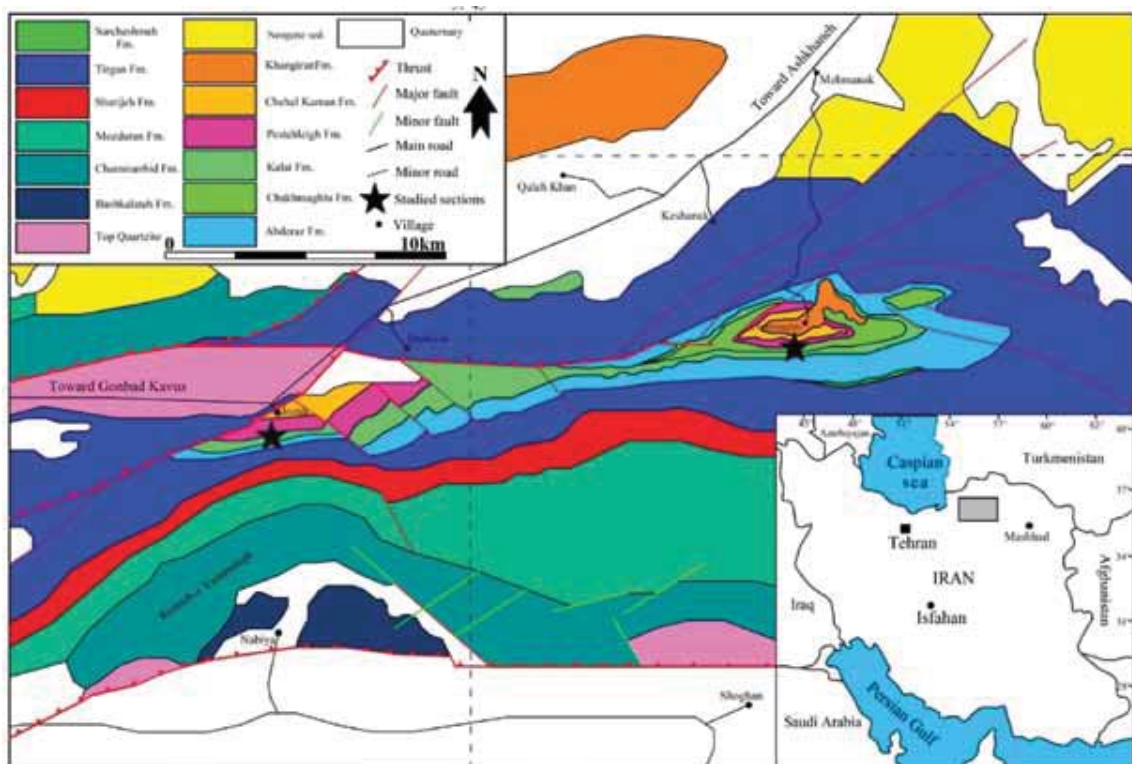
روش مطالعه

به منظور مطالعات بایو استراتیگرافی، تغییرات رخساره‌ای و چینه‌نگاری سکانسی سازند کلات در غرب حوضه کپه داغ پس از مطالعات مقدماتی و بازدید اولیه، دو برش جوزک و چخماقلو انتخاب شد. در مطالعات صحرایی ضمن برداشت ۱۱۸ نمونه از سازند کلات در دو برش مورد مطالعه، تمام خصوصیات صحرایی اعم از سنگ‌شناسی، ضخامت، وضعیت لایه‌بندی، رنگ سنگ‌ها، مرز بین واحدهای سنگی و سایر خصوصیات مورد بررسی قرار گرفت. سپس نمونه‌های برداشت شده جهت آماده‌سازی و تهیه مقاطع نازک به آزمایشگاه تهیه مقاطع منتقل شد. پس از آماده‌سازی و

توسط دریاچه خزر محدود می‌شود (افشار حرب، ۱۳۷۳). حوضه رسوی کپه داغ در تریا میانی و با بسته شدن دریای پالثوتیس یا هرسینین در اثر فاز کوهزاری سیمرین پیشین شکل گرفته است (Stocklin, 1974; Berberian and King, 1981). رسوی گذاری در این حوضه از ژوراسیک شروع شده و به طور نسبتاً پیوسته تا نئوژن ادامه داشته است (Kalantari, 1987; Afshar-Harb, 1994). رسویات در بخش کپه داغ ایران هشت کیلومتر و در بخش ترکمنستان به ۱۵ کیلومتر می‌رسد (Lyberis et al., 1998). رسویات متنوعی که در بخش ایرانی حوضه کپه داغ و در طول شکل گیری آن نهشته شده در قالب سازندهای متعددی نام‌گذاری و معرفی شده است که از جمله آنها سازند کلات است که پس از رسوی گذاری رسویات سیلیسی آواری سازند نیزار و به دنبال افزایش سطح آب دریا در طول مائستریشتین نهشته شده است (Smith et al., 1994). قابل ذکر است سازند نیزار در غرب حوضه کپه داغ رخمنون ندارد و سازند کلات با ناپیوستگی فرسایشی بر روی سازندهای قدیمی‌تر قرار گرفته است (افشار حرب، ۱۳۷۳). برش نمونه سازند کلات با ۲۷۷ متر ضخامت معرفی شده و از لحاظ سنگ‌شناسی شامل سه بخش آهک زیرین، آهک میانی و آهک بالایی و دو بخش شیل زیرین و شیل بالایی می‌باشد. در اکثر مناطق حوضه کپه داغ فقط بخش آهک زیرین رخمنون دارد و سایر بخش‌ها نازک و یا تشکیل نشده‌اند. مرز زیرین سازند کلات در برش نمونه با سازند نیزار پیوسته و هم‌شیب و مرز بالایی آن با رسویات قاره‌ای سازند پسته لیق ناپیوسته می‌باشد. به طور کلی ضخامت سازند کلات از سمت شرق حوضه کپه داغ به سمت غرب کاهش می‌یابد (Stocklin, 1971). با توجه به تغییرات عمودی و جانبی سازند کلات در نواحی مختلف حوضه کپه داغ و به منظور تکمیل زنجیره مطالعات این سازند، در این مطالعه دو برش چینه‌شناسی از سازند کلات در غرب حوضه کپه داغ (برش‌های جوزک و چخماقلو) مورد مطالعات بایو استراتیگرافی، تغییرات رخساره‌ای و چینه‌نگاری سکانسی قرار گرفته است.

کارن (Robaszynski and Caron, 1995) استفاده شده است. در شناسایی، نامگذاری و طبقه‌بندی سنگ‌های کربناته از طبقه‌بندی دانهام (Dunham, 1962) و امبری و کلوان (Embry and Klovan, 1972) و برای سنگ‌های سیلیسی آواری از طبقه‌بندی فولک (Folk, 1974) استفاده شده است. مطالعات چینه‌نگاری سکانسی بر اساس اصول (Sharland et al., 2001؛ Wonders, 1980؛ Simmons et al., 2007) و مفاهیم چینه‌نگاری سکانسی (Caron, 1985؛ Loeblich and Tappan, 1988) صورت گرفته است.

به منظور شناسائی میکروفسیل‌ها و رخساره‌ها، نمونه‌ها در زیر میکروسکوپ دوچشمی مورد مطالعه و عکسبرداری قرار گرفتند. در شناسائی و طبقه‌بندی فرامینیفرهای بنتیک و پلانکتونی از منابع متعددی مانند هوفر (Hofker, 1957)، پوستوما (Postuma, 1971)، سلیتر (Sliter, 1972)، وندرز (Wonders, 1980)، کارن (Caron, 1985)، لوبلیخ (Wonders, 1980)، ریازینسکی (Loeblich and Tappan, 1988) و ریازینسکی (Robaszynski et al., 1984) همکاران (Robaszynski et al., 1984) و ریازینسکی (Robaszynski et al., 1984)



شکل ۱. نقشه زمین‌شناسی و موقعیت برش‌های مورد مطالعه در غرب حوضه کپه داغ؛ اقتباس از (Afshar-Harb et al., 1978)

چینه‌شناسی سازند کلات

این سازند در برش چخماقلو به‌طور عمده از سنگ آهک‌های خاکستری تا قهوه‌ای رنگ و مقدار کمی مارن‌های خاکستری روشن تا سفید رنگ تشکیل شده است و مرز زیرین آن با سازند آب دراز ناپیوسته و مرز بالایی آن با سازند چخماقلو به صورت پیوسته و تدریجی است.

سازند کلات در دو برش جوزک و چخماقلو به ترتیب ۱۵۸ و ۱۳۹ متر ضخامت دارد. سنگ‌شناسی آن در برش جوزک به‌طور عمده از سنگ آهک‌های قهوه‌ای تا خاکستری روشن و گاهی کرم رنگ همراه با ضخامت اندکی کنگلومرا در قاعده تشکیل شده است و مرز زیرین و بالایی آن با سازندهای آب دراز و پسته لیق به صورت ناپیوستگی فرسایشی است، ولی

Siderolites calcitrapoides, *Sirtina orbitoidiformis*,
Dizerina anatolica, *Orbitoides media*, *Pararotalia tuberculifera*, *Lepidorbitoides* sp.
مائبسترشتین
تعیین شده است (شکل ۲).

بر روی سازند کلات یک واحد متتشکل از مارن‌های سفید تا کرم رنگ و سنگ آهک‌های سفید تا خاکستری روشن تحت عنوان سازند چخماقلو قرار دارد که از لحاظ فسیلی فقیر می‌باشد و بر اساس موقعیت چینه‌شناسی آن که از یک طرف بر روی سازند کلات با سن مائبسترشتین و از طرف دیگر در زیر سازند پسته لیق با سن پالئوسن قرار گرفته است، سن مائبسترشتین برای آن پیشنهاد می‌شود. توزیع و گسترش فسیل‌های شناسائی شده در سازند کلات در برش‌های چینه‌شناسی جوزک و چخماقلو در شکل‌های ۳ و ۴ نشان داده شده است.

تفسیر رخساره‌ها

بررسی ویژگی‌های رسوب‌شناسی اصلی مانند اندازه دانه‌ها، نوع و درصد اجزای اسکلتی و غیراسکلتی، بافت، محتوای فسیلی و ساختارهای رسوبی منجر به شناسایی یک رخساره سیلیسی آواری و ۱۰ رخساره کربناته شد که در چهار محیط جزر و مدی، لagon محصور و نیمه محصور، سدی و دریایی باز نهشته شده‌اند. این رخساره‌ها عبارتند از:

رخساره‌های سیلیسی آواری

رخساره کنگلومرایی (A)

تنها رخساره سیلیسی آواری شناسائی شده در بخش قاعده‌ای سازند کلات در برش جوزک مشاهده شد. ذرات گراول دانه درشت سازنده اصلی این رخساره هستند که جنس آنها عمدتاً آهکی و سیلیسی است و منشا آنها از فرسایش لایه‌های قدیمی‌تر می‌باشد. ذرات گراول دارای جورشیدگی و گردشیدگی خوبی است و دارای جهت یافته‌گی می‌باشند. این ذرات توسط ماتریکس دانه‌ریز متتشکل از کوارتر در اندازه سیلت و رس به یکدیگر متصل شده‌اند. تفسیر: ذرات درشت سازنده این رخساره به همراه جورشیدگی و گردشیدگی آنها نشان می‌دهد که این رخساره توسط جریان‌های پرانرژی و در محیط کم‌عمق ساحلی تهنشست شده است (Blair, 1987; Blair, 1999a). ماتریکس دانه‌ریز در زمان کم شدن انرژی جریان‌ها در بین ذرات گراول تهنشست شده است (Smith, 1974).

بایواستراتیگرافی

در مطالعات بایواستراتیگرافی ضمن شناسائی ۳۲ جنس و ۱۵ گونه از فرامینیفرهای بنتیک و ۱۱ جنس و شش گونه از فرامینیفرهای پلانکتون، یک زون‌زیستی در سازند کلات به شرح زیر شناسایی و معرفی شد:

Siderolites calcitrapoides-Sirtina orbitoidiformis Assemblage Zone

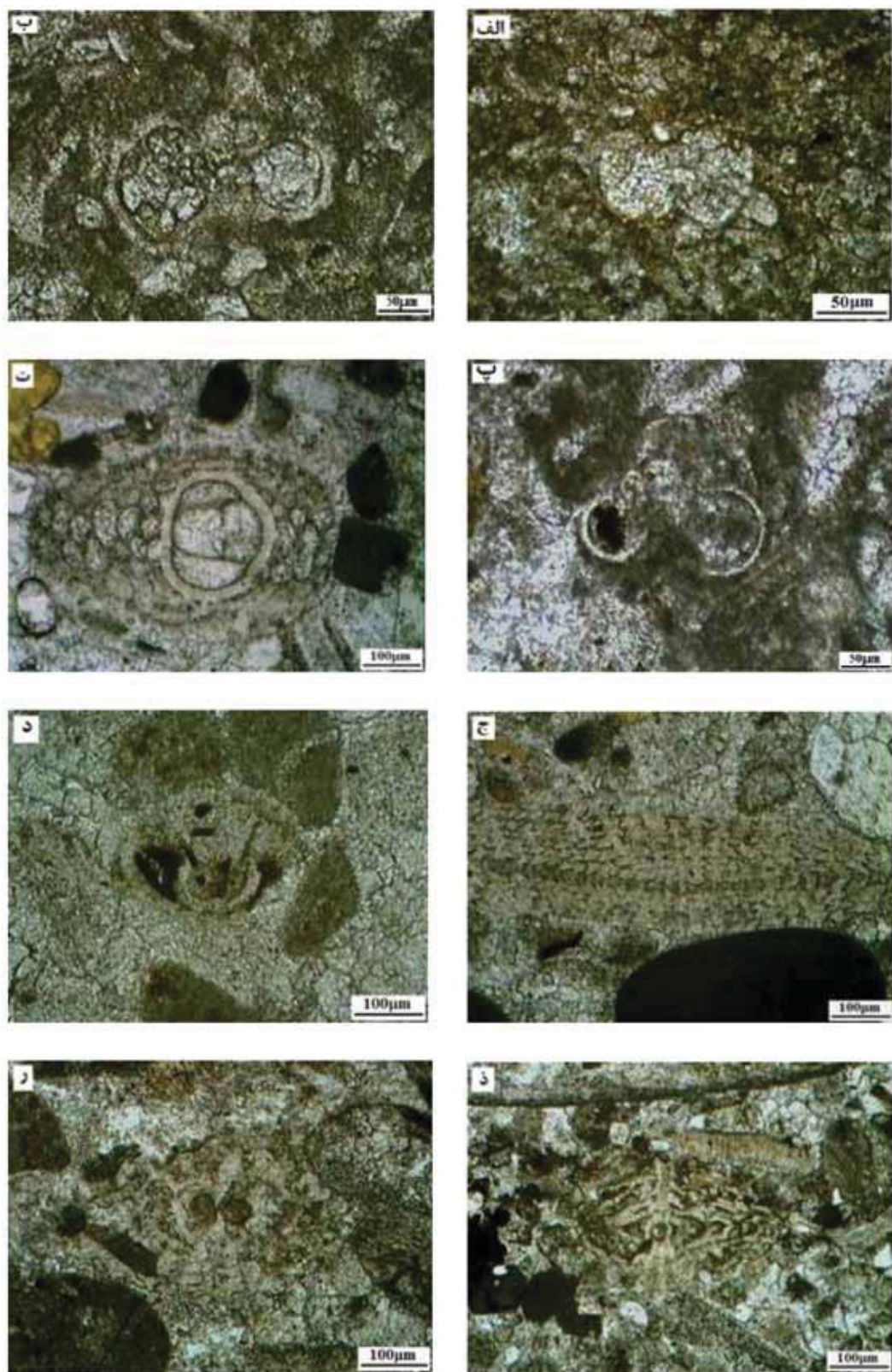
این زون‌زیستی که از نوع تجمعی است براساس جامعه همزیست موجود در آن تعریف شده است و مرز زیرین و بالای آن منطبق با شروع و خاتمه جامعه همزیست آن است. ضخامت این زون‌زیستی در برش جوزک ۱۵۸ متر و در برش چخماقلو ۱۳۹ متر می‌باشد. فرامینیفرهای بنتیک موجود در این زون‌زیستی عبارتند از:

Siderolites calcitrapoides, *Sirtina orbitoidiformis*, *Orbitoides media*, *Dizerina anatolica*, *Pararotalia tuberculifera*, *Sulcoperculina dickersoni*, *Gavelinella costata*, *Gavelinella pertusa*, *Gavelinella ekblomi*, *Gavelinella clementiana*, *Gavelinella intermedia*, *Orbignyna aquisgranensis*, *Dorotia oxycona*, *Gavelinopsis bembix*, *Gouppillaudina shirazensis*, *Siderolites* sp., *Orbitoides* sp., *Sirtina* sp., *Lepidorbitoides* sp., *Pseudosiderolites* sp., *Rotalia* sp., *Anomalina* sp., *Gavelinopsis* sp., *Gavelinella* sp., *Globorotalites* sp., *Verneuilina* sp., *Haplophragmium* sp., *Marginulina* sp., *Pseudocyclammina* sp., *Ammobaculites* sp., *Lenticulina* sp., *Cibicides* sp., *Dorotia* sp., *rotaliids*, *valvulinids*, *textulariids* and *miliolids*.

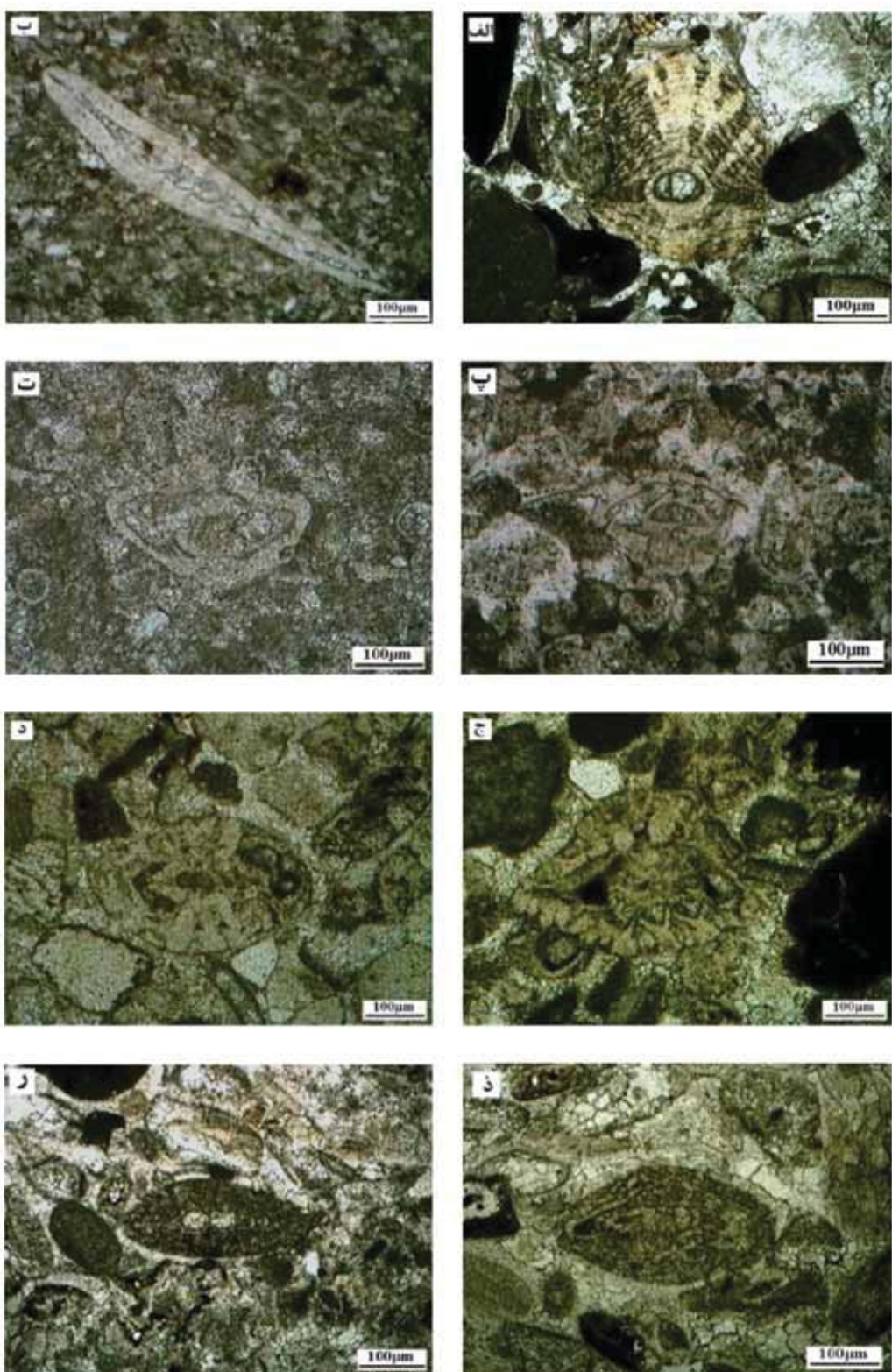
فرامینیفرهای پلانکتون موجود در این زون‌زیستی عبارتند از:

Gansserina gansseri, *Globotruncanita stuarti*, *Rugotruncana subcircumnodifer*, *Globotruncana aegyptiaca*, *Globotruncana lapparenti*, *Globotruncana bulloides*, *Rugoglobigerina* sp., *Globotruncanella* sp., *Muricohedbergella* sp., *Globotruncana* sp. and *Heterohelix* sp.

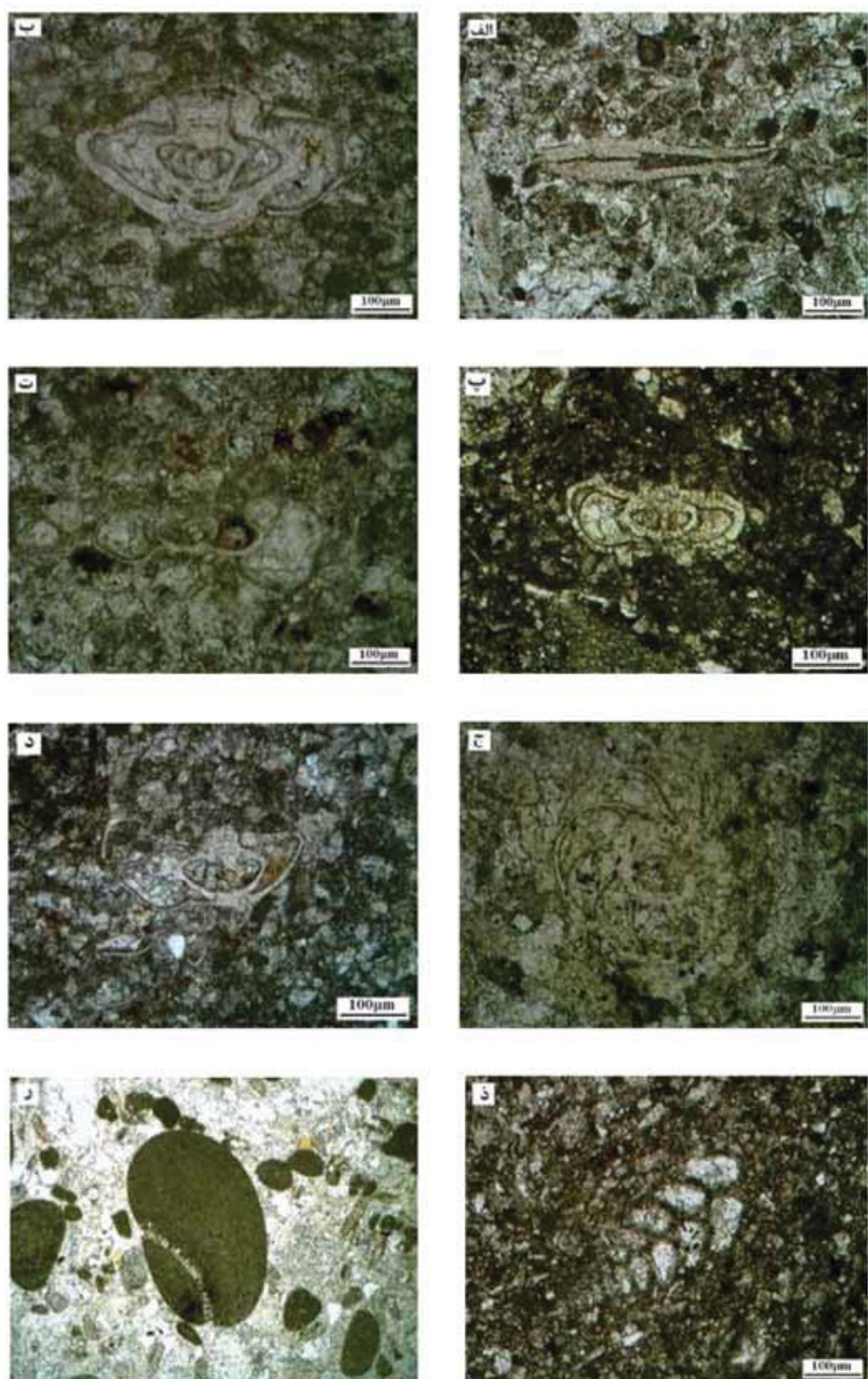
رودیست، دوکفه‌ای، اکینوئید، برویزوئر، جلبک قرمز، گاستروپود و استراکود نیز در این زون‌زیستی شناسائی شد. سن این زون‌زیستی که در برگیرنده کل ضخامت سازند کلات می‌باشد بر اساس فسیل‌های موجود در آن به‌ویژه



شکل ۲. الف) (ب)، *Rugotruncana subcircumnodifer*, Axial section (الف)، *Gansserina gansseri*, Axial section (ج)، *Lepidorbitoides* sp., Axial section (پ)، *Orbitoides media*, Axial section (ق)، *Muricohedbergella* sp., Axial section (ز)، *Siderolites calcitrapoides*, Axial section (د)، *Pararotalia tuberculifera*, Axial section (د)

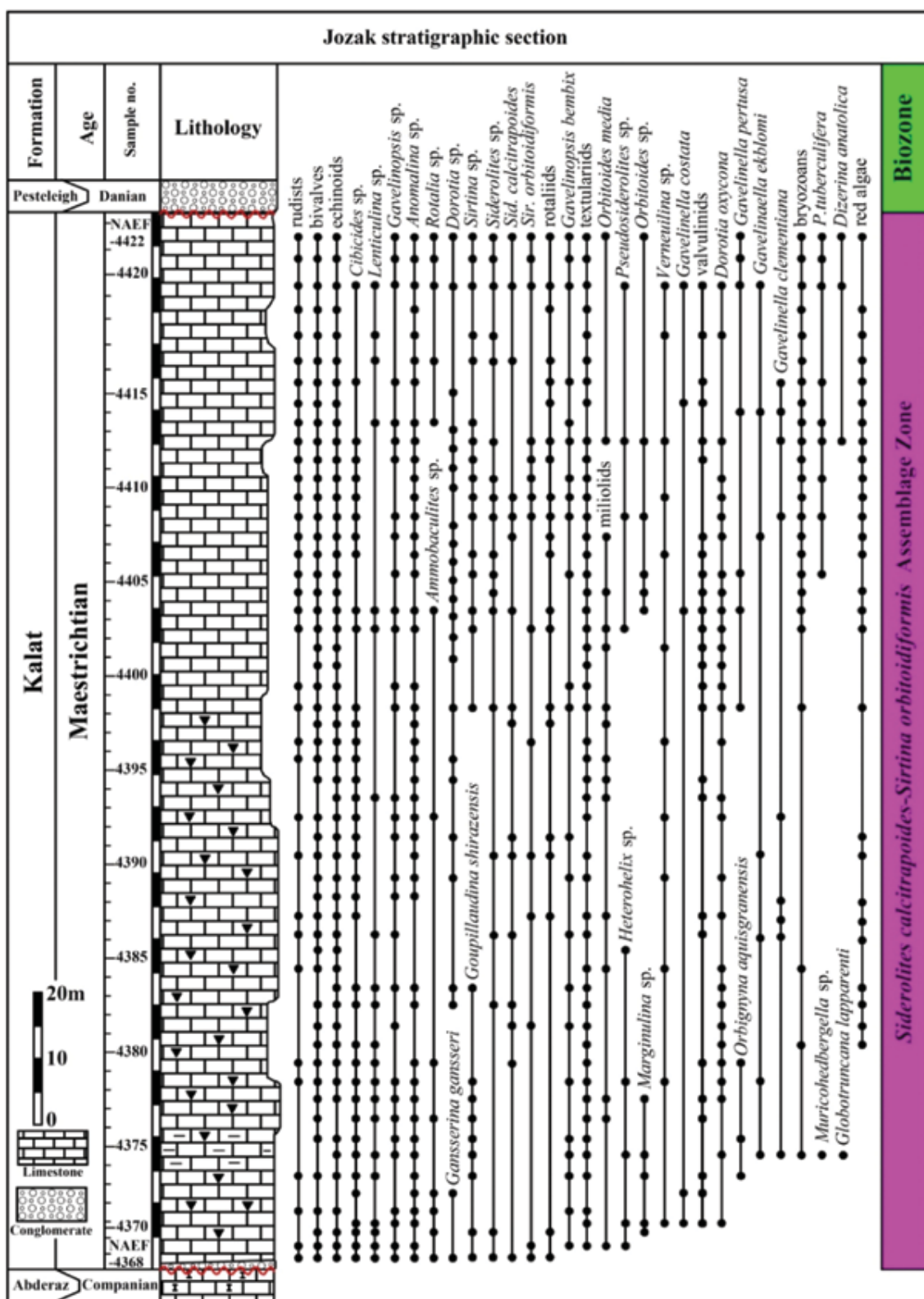


ادامه شکل ۲. الف) *Sirtina orbitoidiformis*, (ب) *Goupiellaudina shirazensis*, Axial section (ب) *Orbitoides media*, Axial section (ج) *Dizerina* (ج-د) *Siderolites calcitrapoides*, Axial section (د) *Gavelinopsis bembix*, Axial section (ت) *Gavelinopsis anatolica*, Axial section

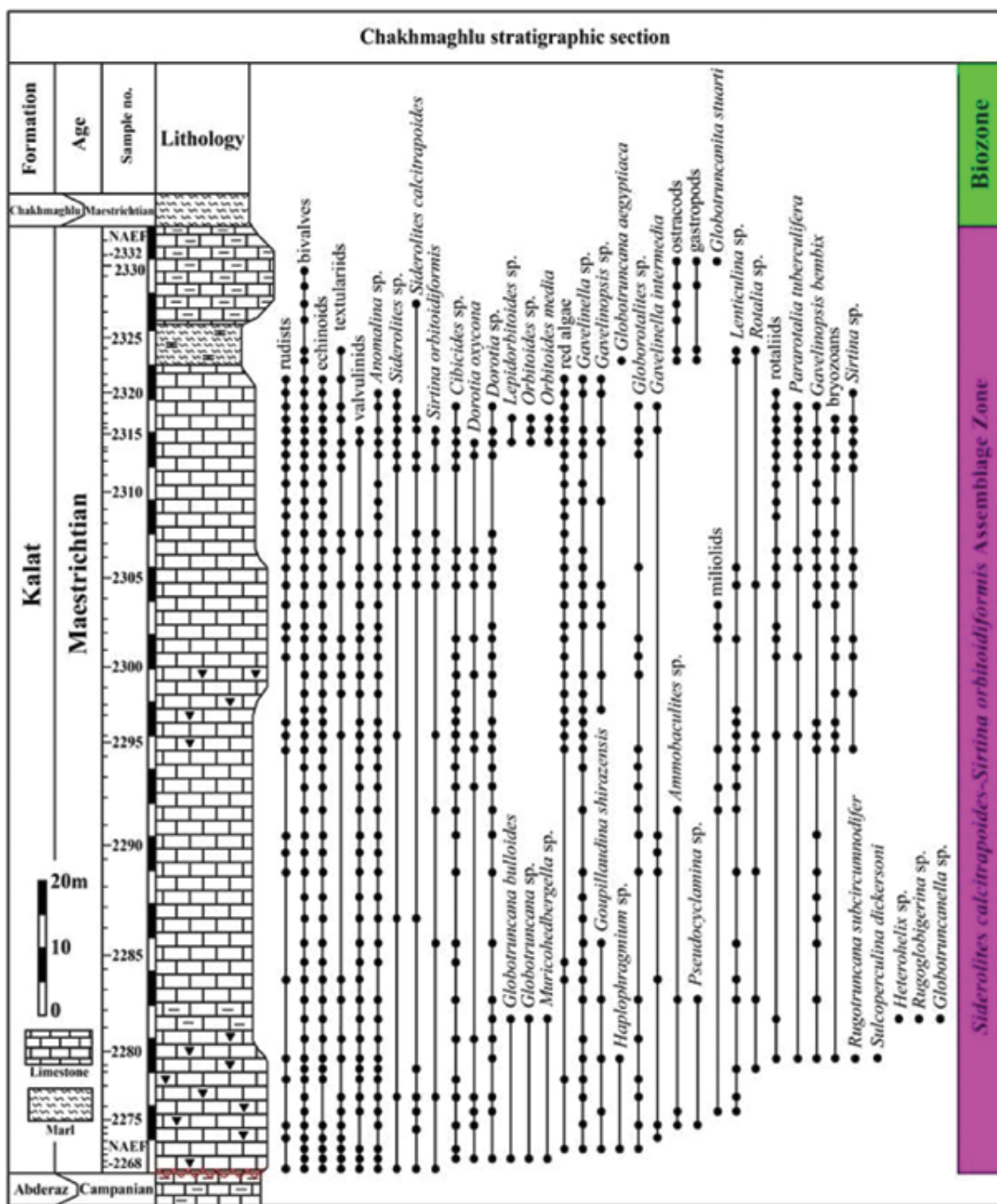


ادامه شکل ۲. (الف) *Gavelinopsis bembix*, Axial section (ب) *Sulcoperculina dickersoni*, Axial section (ج) *Gavelinella pertusa*, Transverse section (د) *Gavelinella costata*, Axial section (ه) *clementiana*, Axial section (س) Red algae (*Lithophyllum* sp.), Transverse (ز) *Verneuilina* sp., Subaxial section (ز) *Gavelinella ekblomi*, Axial section

section



شکل ۳. انتشار چینه‌شناسی فرامینیفرها و زون‌زیستی معرفی شده در برش چینه‌شناسی جوزک



شکل ۴. انتشار چینه‌شناسی فرامینیفرها و زون‌بیستی معرفی شده در برش چینه‌شناسی چخماقلو

رخساره‌های کربناته

کلات در برش چخماقلو شناسائی شد. اجزای اصلی سازنده این رخساره، گاستروپودها و بايوکلاست‌ها در زمینه میکرایتی می‌باشند (شکل ۵ ب). از جمله مهم‌ترین بايوکلاست‌ها می‌توان دوکفه‌ای و استراکود را نام برد. کوارتز و کانی‌های اوپک نیز به مقدار جزئی حضور دارند. مهم‌ترین ویژگی‌های دیاژنتیکی این رخساره تهنشست سیمان اسپاریت در حجرات گاستروپود و میکرایتی شدن بايوکلاست‌ها می‌باشد.

تفسیر: گاستروپودها می‌توانند به فراوانی در محیط‌های بسته با شوری بالا یافت شوند (Scholle and Scholle, 2006). نبود فونای دریایی باز و موقعیت چینه‌شناسی این رخساره با رخساره₁ B₃ نشان می‌دهد که این رخساره در محیط لagon مخصوص، نزدیک به محیط جزر و مدي تشکیل شده است (Wilson and Evans, 2002). این رخساره معادل با رخساره استاندارد شماره ۱۹ (RMF19) و کمریند رخساره‌ای ۸ (FZ8) ویلسون می‌باشد.

رخساره مارن (B₃)

این رخساره فقط در بخش بالایی سازنده کلات در برش چخماقلو مشاهده شد. لایه‌های مارن عمده‌تاً به رنگ خاکستری است و دارای قطعات ژیپس می‌باشند. قطعات دوکفه‌ای، استراکود، گاستروپود و اندکی فرامینیفر بنتیک به صورت جزئی حضور دارند (شکل ۵ ب). کوارتز و کانی‌های اوپک نیز در این رخساره وجود دارند. نئومورفیسم زمینه رسی-میکرایتی مهم‌ترین ویژگی دیاژنتیکی این رخساره است.

تفسیر: حضور قطعات ژیپس، زمینه رسی دانه‌ریز و نبود فونای دریایی باز نشان می‌دهد این رخساره در محیط لagon مخصوص کم انرژی تهنشست شده است (Flugel, 2010). نبود فونای دریایی باز در زمینه رسی نشان دهنده این است که محل تشکیل این رخساره محیط کم عمق زیر سطح اساس امواج عادی (WWB) با انرژی کم می‌باشد (Burchette and Wright, 1992).

آنالیزهای رخساره‌ای منجر به تفکیک واحدهای کربناته به ۱۰ رخساره شد که در محیط‌های دریابی تحت شرایط متفاوت انرژی تهنشست شده‌اند. این رخساره‌ها با رخساره‌های استانداردا و کمریندۀای رخساره‌ای^۲ ارائه شده توسط ویلسون (Wilson, 1975) و محیط رسوبی آنها توسط فلوگل (Flugel, 2010) مقایسه شده است. این رخساره‌ها عبارتند از:

رخساره‌های محیط جزر و مدي^۳

رخساره فنستراول وکستون (B₁)

این رخساره فقط در بخش راسی سازنده کلات در برش چخماقلو شناسائی شد. ساختارهای فنسترتیت^۴ یا چشم پرندهای بهخوبی در این رخساره توسعه یافته و توسط سیمان اسپاریت پر شده‌اند (شکل ۵ الف). زمینه این رخساره میکرایت می‌باشد. دوکفه‌ای، استراکود و گاستروپود به مقدار جزئی در این رخساره حضور دارند. از جمله ساختارهای رسوبی موجود در این رخساره می‌توان به میکروکارستی شدن و لامیناسیون اشاره کرد. تهنشست سیمان اسپاریت، دولومیتی شدن جزئی و نئومورفیسم زمینه میکرایتی مهم‌ترین ویژگی‌های دیاژنتیکی این رخساره می‌باشد.

تفسیر: ساختارهای فنسترتیت در رسوبات محیط جزر و مدي متداول هستند (Flugel, 2010). این ساختارها به علت خروج هوا از رسوبات میکرایتی در طول غرق‌شدگی رسوبات در محیط جزر و مدي ساخته می‌شوند (Ginsburg and Hardie, 1975; Shinn, 1983) فونا، زمینه میکرایتی و توسعه ساختارهای فنسترتیت نشان می‌دهد این رخساره در محیط جزر و مدي تهنشست شده است. دولومیتی شدن نیز احتمالاً مربوط به پدیده دیاژنت اولیه می‌باشد (Tucker and Wright, 1990). این رخساره معادل با رخساره استاندارد شماره ۲۳ (RMF23) و کمریند رخساره‌ای ۹ (FZ9) ویلسون می‌باشد.

رخساره‌های محیط لagon^۵

رخساره بايوکلاست گاستروپود وکستون (B₂)

این رخساره به صورت جزئی فقط در بخش راسی سازنده

1. Standard Microfacies Types

2. Facies Belt

3. Tidal Flat

4. Fenestrate

5. Lagoon

سیمان اسپاریت، دولومیتی شدن جزئی و میکرایتی شدن بايوکلاست‌ها می‌باشد.

تفسیر: بافت‌های گرینستونی مشخصه محیط‌های سدی با انرژی بالا می‌باشند (Wilson, 1975; Harris et al., 1997). حضور سیمان اسپاریت و اجزای سازنده با گردش‌گی و جورش‌گی نسبتاً خوب نشان می‌دهد که این رخساره در یک محیط سدی با انرژی بالا در بالای سطح اساس امواج^۱ تشکیل شده است (Burchette, 1993). این رخساره معادل با رخساره استاندارد شماره ۲۷ (RMF27) و کمریند رخساره‌ای^۲ (FZ6) ویلسون می‌باشد.

رخساره بايوکلاست فرامینیفر بنتیک گرینستون (B₄)
این رخساره به صورت جزئی در بخش میانی تا بالای سازنده کلات مشاهده شد. بافت این رخساره دانه پشتیبان است و اجزای اصلی سازنده آن فرامینیفرهای بنتیک با پوسته هیالین مانند سیدرولیتیس (*Siderolites*), اربیتوئیدس (*Orbitoides*), لپیداربیتوئیدس (*Lepidorbitoides*) و سیرتینا (*Sirtina*) می‌باشد (شکل ۵ د). دوکفه‌ای، جلبک قرمز، روپیست و اکینوئید نیز حضور دارند. کوارتر و گلوکونیت به مقدار اندکی وجود دارند. مهم‌ترین ویژگی دیاژنیکی این رخساره تنشست سیمان اسپاریت در فضاهای خالی و حجرات فرامینیفرهای بنتیک می‌باشد.

تفسیر: حضور متنوع فرامینیفرهای بنتیک با پوسته هیالین در زمینه اسپاریتی نشان می‌دهد که این رخساره در محیط سدی با انرژی بالا و مرتبط با دریای باز تشکیل شده است (Carannanate et al., 2000). چنین محیط‌هایی جداگانه محیط دریایی باز از لگون می‌باشند (Burchette and Wright, 1992). این رخساره معادل با رخساره استاندارد شماره ۲۶ (RMF26) و کمریند رخساره‌ای^۲ (FZ6) ویلسون می‌باشد.

رخساره روپیست گرینستون (B₅)
این رخساره در بخش میانی تا بالای سازنده کلات شناسائی شد. اجزای اصلی سازنده این رخساره قطعات درشت و فراوان روپیست می‌باشد. دوکفه‌ای، اویستر، جلبک قرمز، اکینوئید

رخساره بايوکلاست پکستون (B₄)

این رخساره به صورت جزئی در بخش زیرین سازنده کلات شناسائی شد. اجزای اصلی سازنده این رخساره بايوکلاست‌ها در زمینه میکرایتی می‌باشند (شکل ۵ ت). از مهم‌ترین بايوکلاست‌های شناسائی شده می‌توان به ذرات اکینوئید، دوکفه‌ای و فرامینیفر بنتیک اشاره کرد. پلوئید و اینتراکلاست نیز در این رخساره حضور دارند. همچنین کوارتز و کانی‌های اوپک نیز مشاهده شدند. مهم‌ترین ویژگی‌های دیاژنیکی این رخساره دولومیتی شدن جزئی و میکرایتی شدن بايوکلاست‌ها می‌باشد.

تفسیر: دانه‌های کوارتز از فرسایش لایه‌های قدیمی‌تر منشاء گرفته و احتمالاً به وسیله باد یا جریان‌های آبی از خارج حوضه به محیط دریابی جابجا شده‌اند (Tucker and Wright, 1990; Flugel, 2010). پلوئیدها از اجزای شاخص محیط دریابی لگون و کم انرژی می‌باشند (Tomasovich, 2004). بايوکلاست‌های میکرایتی شده و حضور فونای دریابی باز مانند اکینوئید نشان می‌دهد که این رخساره در محیط لگون نیمه محصور تشکیل شده است (Flugel, 2010). این رخساره معادل با رخساره استاندارد شماره ۲۰ (RMF20) و کمریند رخساره‌ای^۲ (FZ7) ویلسون می‌باشد.

رخساره‌های محیط سدی^۱

رخساره بايوکلاست اینتراکلاست گرینستون (B₅)

این رخساره به صورت گستردگی در سراسر سازنده کلات شناسائی شد. اجزای اصلی سازنده این رخساره، اینتراکلاست‌ها و بايوکلاست‌ها در زمینه اسپاریتی می‌باشند. این رخساره سازنده اصلی سدهای بايوکلاستی می‌باشد (شکل ۵ ج). اکینوئید، جلبک‌های قرمز مانند (*Lithotaminium*) و لیتوتامینیوم (*Lithophyllum*) فرامینیفرهای بنتیک کوچک با پوسته هیالین، روپیست و دوکفه‌ای از مهم‌ترین بايوکلاست‌ها می‌باشند. پلوئید و کوارتز نیز به صورت فرعی حضور دارند. اجزای اصلی دارای گردش‌گی و جورش‌گی نسبتاً خوبی می‌باشند. مهم‌ترین ویژگی‌های دیاژنیکی این رخساره تنشین شدن

1. Shoal

2. Fair weather wave base

فرامینیفرهای بنتیک با پوسته هیالین مانند گاولینوبسیس (*Gavelinopsis*) و سیدرولیتیس (*Siderolites*) نیز حضور دارند (شکل ۵ ز). کوارتز، کانی‌های اوپک و اینتراکلاست به صورت فرعی مشاهده شدند. نئومورفیسم زمینه میکرایتی و ایجاد سیمان سین تکسیال^۲ در اطراف قطعات اکینوئید مهم‌ترین ویژگی‌های دیاژنتیکی این رخساره می‌باشد.

تفسیر: حضور فراوان قطعات اکینوئید نشان‌دهنده محیط دریای باز می‌باشد (Heckel, 1972). حضور فونای دریای باز مانند اکینوئید و جلبک قرمز به همراه دوکفه‌ای و فرامینیفر بنتیک در بافت پکستونی بیانگر آن است که این رخساره در محیط دریای باز با انژری متوسط تهشیست شده است (Harris et al., 1997). این رخساره معادل با رخساره استاندارد شماره ۷ (RMF7) و کمریند رخساره‌ای ۵ (FZ5) ویلسون می‌باشد.

رخساره بایوکلاست وکستون کوارتز دار (B_{10})

این رخساره به صورت جزئی فقط در بخش زیرین سازند کلات شناسائی شد. اجزای اصلی سازنده این رخساره اکینوئید، جلبک قرمز، دوکفه‌ای، بریوزوئر و فرامینیفرهای پلانکتونی مانند هتروهليکس (*Muricohedbergella*)، موریکوهدرگلا (*Heterohelix*) در زمینه میکرایتی دانه‌ریز می‌باشد (شکل ۵ س). دانه‌های کوارتز در اندازه سیلت و کانی‌های اوپک نیز حضور دارند. مهم‌ترین ویژگی‌های دیاژنتیکی این رخساره پر شدن حجرات فرامینیفرهای پلانکتون توسعه اسپاریت، نئومورفیسم زمینه میکرایتی و سیلیسی شدن جزئی می‌باشد.

تفسیر: حضور فونای دریای باز مانند اکینوئید، بریوزوئر و فرامینیفر پلانکتونی در زمینه میکرایتی نشان می‌دهد که این رخساره در محیط دریای باز با انژری کم تا متوسط تشکیل شده است (Wilson, 1975; Flugel, 2010). حضور گسترده دانه‌های کوارتز بیانگر آن است که این رخساره تحت تاثیر مواد حمل شده از مناطق کم‌عمق‌تر قرار گرفته است (Scholle and Arthur, 1980; Flugel, 2010) رخساره معادل با رخساره استاندارد شماره ۲ (RMF2) و کمریند رخساره‌ای ۵ (FZ5) ویلسون می‌باشد.

1. Open Marine

2. Syntectial cement

و فرامینیفر بنتیک نیز حضور دارد. (شکل ۵ ذ). کوارتز و اینتراکلاست نیز به صورت جزئی وجود دارد. قطعات رو دیست و سایر اجزا دارای گردشگی و جورشگی نسبتاً خوبی می‌باشند. مهم‌ترین ویژگی دیاژنتیکی این رخساره تهشیش شدن سیمان اسپاریت در فضاهای خالی و شکستگی‌ها می‌باشد.

تفسیر: جورشگی نسبتاً خوب رو دیست‌ها، زمینه اسپاریتی و بافت گرینستونی نشان می‌دهد که این رخساره در بخش‌های پرانژری محیط سدی به سمت دریای باز نهشته شده است (Wilson, 1975; Flugel 2010). این رخساره معادل با رخساره استاندارد شماره ۳۰ (RMF30) و کمریند رخساره‌ای ۶ (FZ6) ویلسون می‌باشد.

رخساره‌های محیط دریای باز

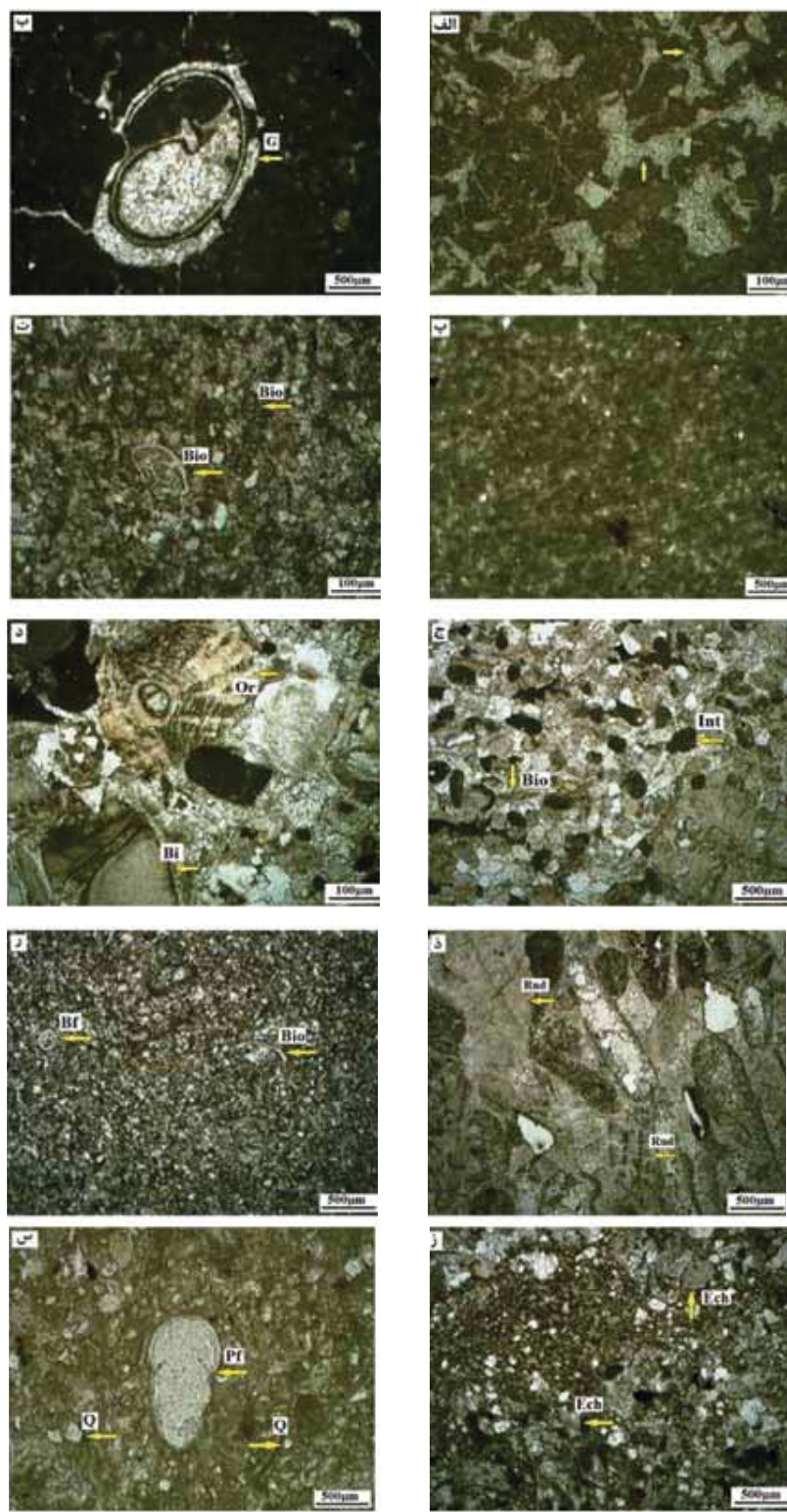
رخساره بایوکلاست فرامینیفر بنتیک پکستون دولومیتی شده (B_8)

این رخساره به صورت گستردگی در بخش زیرین سازند کلات مشاهده شد. اجزای اصلی شامل فرامینیفرهای بنتیک مانند سی بی سایدیس (*Cibicides*), آنومالینا (*Textulariid*), تکستولارید (*Anomalina*) (شکل ۵ ر). اکینوئید، دوکفه‌ای، پلوئید، اینتراکلاست، جلبک قرمز، رو دیست و کوارتز نیز به صورت فرعی حضور دارد. دولومیتی شدن و نئومورفیسم زمینه میکرایتی از مهم‌ترین ویژگی‌های دیاژنتیکی این رخساره می‌باشد.

تفسیر: بلورهای دانه‌ریز تا متوسط دولومیت مربوط به پدیده دیاژنر ثانویه می‌باشند (Warren, 2000) که در یک روند کم‌عمق شدگی به وجود آمده‌اند (Mutti and Simo, 1994). تنوع نسبتاً خوب فرامینیفرهای بنتیک و حضور فونای دریای باز مانند اکینوئید و جلبک قرمز نشان‌دهنده این است که محیط تشکیل این رخساره ابتدای دریای باز با انژری متوسط است (Tucker and Wright, 1990; Zhicheng et al., 1997). این رخساره معادل با رخساره استاندارد شماره ۳ (RMF3) و کمریند رخساره‌ای ۵ (FZ5) ویلسون می‌باشد.

رخساره بایوکلاست اکینوئید پکستون (B_9)

این رخساره به صورت جزئی در بخش میانی سازند کلات مشاهده شد. قطعات اکینوئید سازنده اصلی این رخساره هستند. جلبک قرمز، دوکفه‌ای، رو دیست و



شکل ۵. الف) وکستون دارای ساختارهای فنسترتیت یا چشم چرندهای (B_1)؛ ب) وکستون دارای گاستروپود و بایوکلاست (B_2)؛ پ) مارن (B_3)؛ ت) پکستون دارای بایوکلاست (B_4)؛ ج) گرینستون دارای بایوکلاست و اینترکلاست (B_5)؛ د) گرینستون دارای بایوکلاست و فرامینیفر بنتیک (B_6)؛ ذ) گرینستون رودیستی (B_7)؛ ر) پکستون دارای فرامینیفر بنتیک و دولومیتی شده (B_8)؛ ز) پکستون دارای اکینوئید و بایوکلاست (B_9)؛ س) وکستون دارای بایوکلاست و کوارتز (B_{10})؛ علائم اختصاری عبارتند از: Q: کوارتز؛ G: گاستروپود؛ Bf: فرامینیفر بنتیک؛ Pf: فرامینیفر پلانکتون؛ Or: اربیتوئیدس؛ Bio: اکینوئید؛ Ech: اکینوئیدس؛ Rud: رودیست؛ Bi: دوکفهای؛ Int: اینترکلاست

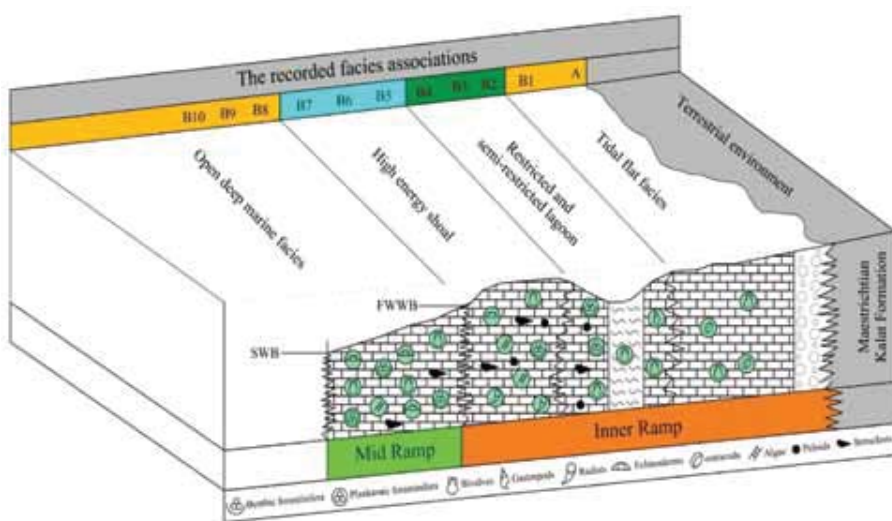
محیط رسوبی

(Mutti and Simo, 1994) چنین دولومیت‌هایی در یک روند کم‌عمق شدگی به وجود می‌آیند. حضور فراوان قطعات اکینوئید در رخساره بايوکلاست اکینوئید پکستون (B_9) نشان‌دهنده محیط دریای باز با انرژی متوسط می‌باشد (Heckel, 1972). با افزایش سطح آب دریا رخساره کوارتر بايوکلاست وکستون (B_{10}) تهنشست شده است که وجود فونای دریای باز مانند اکینوئید، برویزوئر و فرامینیفر پلانکتونی بيانگر آن است که این رخساره مربوط به محیط دریای باز با انرژی کم تا متوسط می‌باشد. تغییرات تدریجی رخساره‌ها، نبود رسوبات حاصل از جریان‌های توربیدیاتی مانند رسوبات ریزشی و لغزشی، فقدان ریف‌ها و حضور گستردگی سدهای بايوکلاستی نشان می‌دهد که سازند کلات در محیط کربناته رمپ با شیب (Read, 1985; Tucker and Read, 1985; Tucker and Wright, 1990; Burchette and Wright, 1992) کم تهنشست شده است (شكل ۶). اکثر رخساره‌های شناسائی شده شامل رخساره کنگلومراپی (A) و رخساره‌های کربناته B_1 تا B_7 در رمپ داخلی و رخساره‌های B_8 تا B_{10} در رمپ میانی تهنشست شده‌اند. لازم به ذکر است رخساره‌های رمپ خارجی در برش‌های مورد مطالعه تشخیص داده نشد.

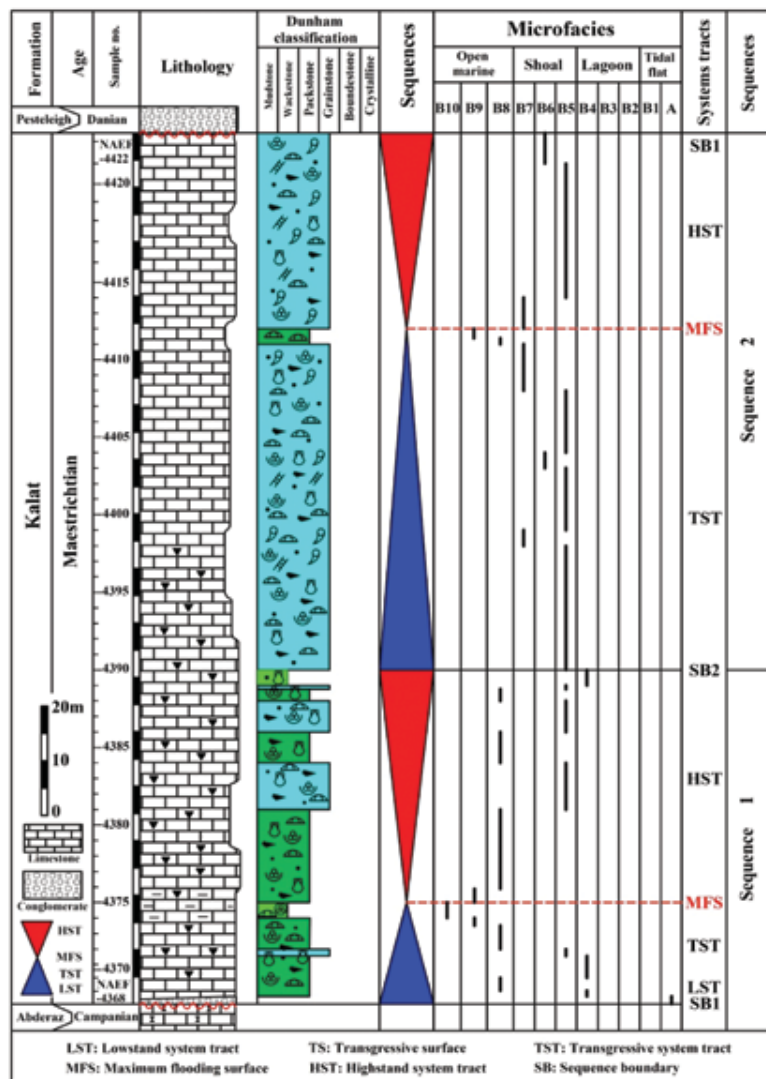
چینه‌نگاری سکانسی

نهشتهدای یک حوضه رسوبی را می‌توان براساس وجود ناپیوستگی‌ها یا پیوستگی‌های همارز به سکانس‌های (Van Wagoner et al., 1990) تفکیک کرد (Emery and Myers, 1996). تغییرات محیط‌های رسوبی مرتبط با تغییرات نسبی سطح آب دریا انجام می‌گیرد (Emery and Myers, 1996). تغییرات عمودی رخساره‌ها و منحنی مربوط به تغییرات نسبی عمق، نشانگر دو سکانس رسوبی رده سوم در سازند کلات می‌باشد (شکل ۷، ۸).

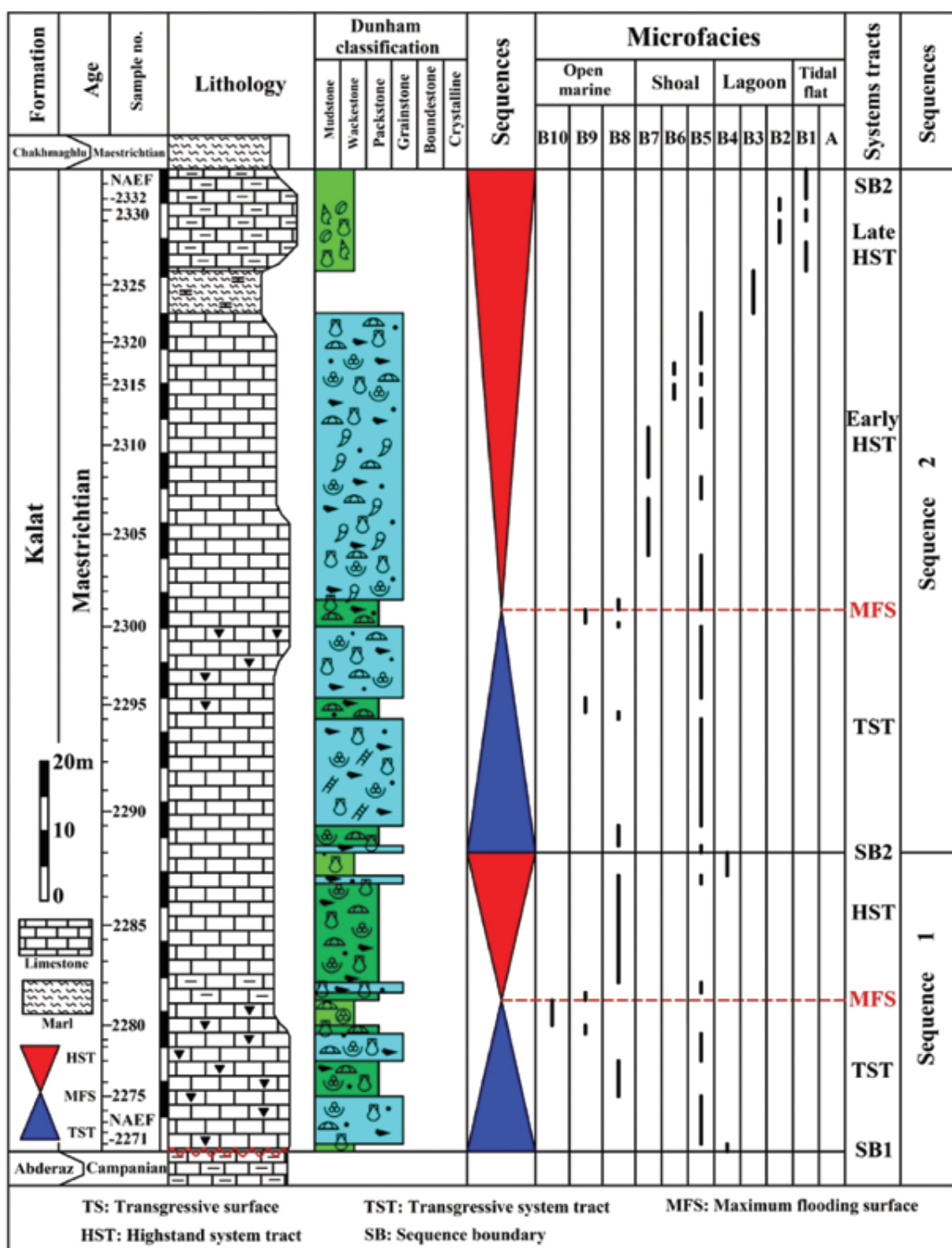
با بررسی ارتباط جانبی و عمودی رخساره‌ها و پراکنده‌گی فونا می‌توان گفت رسوب‌گذاری سازند کلات در برش‌های مورد مطالعه در چهار محیط جزر و مدی، لاغون محصور و نیمه محصور، سد و دریای باز رخ داده است. محیط جزر و مدی توسط رخساره کنگلومراپی (A) و رخساره وکستون دارای ساختارهای فنسنتریت یا چشم پرندۀ‌ای (B_1) مشخص می‌شود. این ساختارها به علت خروج هوا از رسوبات میکراتی در طول غرق‌شدن رسوبات در محیط جزر و مدی تشکیل شده‌اند (Ginsburg and Hardie, 1975; Shinn, 1983). رخساره وکستون دارای گاستروپود (B_2) نشان‌دهنده محیط لاغون محصور نزدیک به فراوانی در محیط‌های بسته با شوری بالا یافت شوند (Scholle and Scholle, 2006). رخساره مارن (B_3) مربوط به عمیق‌ترین بخش محیط لاغون می‌باشد. با نزدیک شدن به محیط سدی و امکان ارتباط محیط لاغون با دریای باز، رخساره بايوکلاست پکستون (B_4) تهنشست شده است. رخساره‌های محیط سدی بسیار متنوع است و شامل رخساره گرینستون دارای بايوکلاست و اینترکلاست (B_5)، گرینستون دارای بايوکلاست و فرامینیفر بنتیک (B_6) و گرینستون دارای رودیست (B_7) می‌باشد. اکثر اجزای اسکلتی این رخساره‌ها از ارگانیسم‌های دریای باز در مجاورت حاشیه پلاتفرم نشات گرفته‌اند. وجود سیمان اسپاریتی به همراه قطعات گردشده و جورشده بيانگر آن است که این رخساره‌ها در محیط پر انرژی سدی بالای سطح اساس امواج عادی (FWWB) شکل گرفته‌اند (Burchette, 1993). رخساره پکستون دارای فرامینیفر بنتیک و دولومیتی شده (B_8) در ابتدای محیط دریای باز تهنشست شده است. این رخساره در بخش زیرین سازند کلات در یک روند کم‌عمق شونده به سمت بالا تشکیل شده و با ایجاد شرایط مناسب، پدیده دولومیتی شدن نیز در آن رخ داده است. به عقیده موتی و سیمو



شکل ۶. مدل رسوی ارائه شده برای سازند کلات؛ محل قرارگیری سطح اساس امواج عادی (FWWB) و سطح اساس امواج طوفانی (SWB) از بورچت و رایت (Burchette and Wright, 1992) اقتباس شده است



شکل ۷. توزیع عمودی رخساره‌ها و سکانس‌های شناسائی شده در برش چینه‌شناسی جوزک

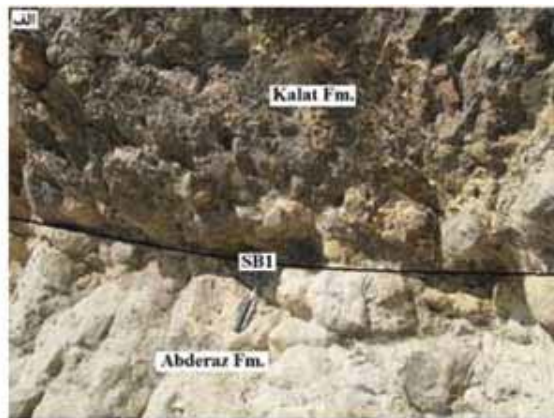


شکل ۸. توزیع عمودی رخساره‌ها و سکانس‌های شناسائی شده در برش چینه‌شناسی چخماقلو

مرزهای سکانسی

محصور مشخص می‌شود. این مرز به دلیل نبود شواهد خروج از آب، مرز سکانسی نوع دوم (SB2) است. مرز سکانسی سوم در برش جوزک بین سازندهای کلات و پستلیق قرار دارد و به دلیل شواهد خروج از آب و فرسایش گستردگی رسوبات، مرز سکانسی نوع اول (SB1) می‌باشد (Vail et al., 1984) (شکل ۹ پ). این مرز در برش چخماقلو بین سازندهای کلات و سازند غیررسمی چخماقلو واقع شده و به دلیل نبود شواهد خروج از آب و فرسایش رسوبات، مرز سکانسی نوع دوم (SB2) در نظر گرفته شد (شکل ۹ ت).

براساس سطوح فرسایشی و روندهای کم عمق شوندگی در روند تغییرات عمودی رخساره‌ها، سه مرز سکانسی در برش‌های مورد مطالعه تشخیص داده شد. مرز سکانسی اول بین سازندهای آب دراز و کلات واقع شده است و به علت نبود سازندهای آب تلخ و نیزار به صورت ناپیوستگی فرسایشی بوده و مرز سکانسی نوع اول (SB1) است (شکل ۹ الف). رخساره کنگلومرایی (A) در بالای این مرز در برش جوزک، شروع مجدد پیشروی سطح آب دریا را نشان می‌دهد (شکل ۹ ب). مرز سکانسی دوم در سازند کلات قرار دارد و توسط رخساره باپوکلاست پکستون (B₄) مربوط به محیط لاغون نیمه



شکل ۹. تصاویر صحرایی از مرزهای سکانسی تشخیص داده شده؛ (الف) مرز سکانسی نوع اول (SB1) بین سازندهای آب دراز و کلات در برش چخماقلو؛ (ب) کنگلومرایی سازند کلات در بالای مرز سکانسی در برش جوزک؛ (پ) مرز سکانسی نوع اول (SB1) بین سازندهای کلات و پستلیق در برش جوزک؛ (ت) مرز سکانسی نوع دوم (SB2) بین سازندهای کلات و چخماقلو در برش چخماقلو

سکانس ۱

و بایوکلاست گاستروپود و کستون (B_2) مربوط به لاغون محصور و رخساره فنترال و کستون (B_1) مربوط به محیط جزر و مدی می‌باشد. این سکانس نیز از لحاظ سنی می‌تواند معادل با سکانس K180 در صفحه عربی باشد (Sharland et al., 2001; Simmons et al., 2007)

با استفاده از تغییرات عمودی رخساره‌ها و شناسائی محیط‌های رسوبی، روند تغییرات سطح آب دریا در برش‌های مورد مطالعه بازسازی و با منحنی‌های تغییرات سطح آب جهانی (Haq et al., 1987; Miller et al., 2005) و منحنی تغییرات سطح آب صفحه عربی (Haq and Al-Qahtani, 2005) مقایسه شده است (شکل ۱۱). مقایسه منحنی‌های رسم شده نشان می‌دهد منحنی تغییرات سطح آب دریا در برش‌های مورد مطالعه هماهنگی قابل توجهی با منحنی‌های تغییرات سطح آب جهانی دارد بنابراین می‌توان نتیجه گرفت که روند تغییرات سطح آب دریا در زمان تهنشست رسوبات سازند کلات در غرب حوضه کپه داغ به‌وضوح تحت تاثیر روند تغییرات سطح آب جهانی بوده است.

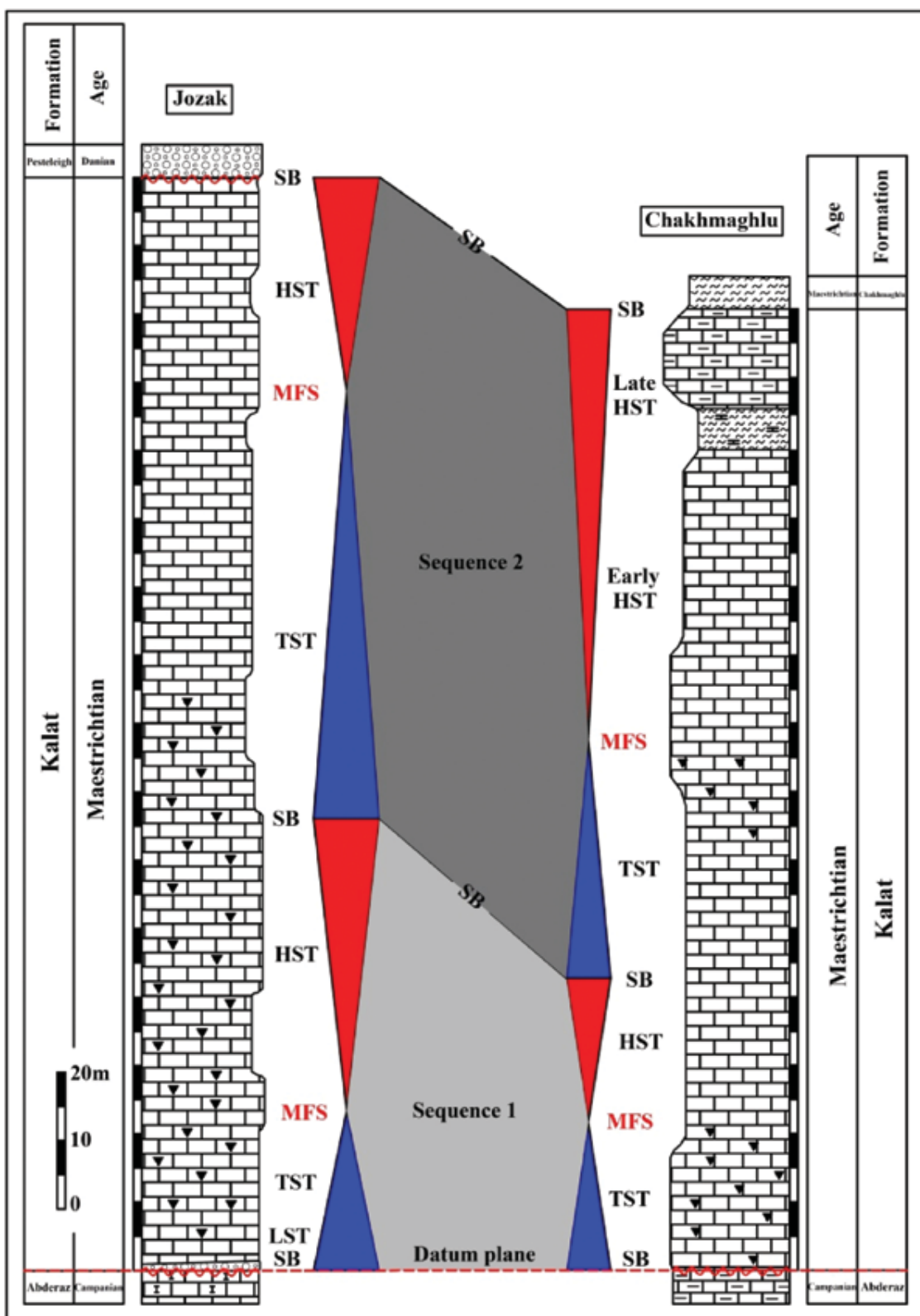
نتیجه‌گیری

رسوبات سازند کلات در دو برش جوزک و چخماقلو در غرب حوضه کپه داغ برداشت و مورد مطالعه قرار گرفته است. ضخامت سازند کلات در برش جوزک ۱۵۸ متر است و لیتولوژی آن عمدتاً شامل سنگ آهک‌های قهقهه‌ای تا خاکستری روشن و گاهی کرم رنگ می‌باشد و مرز زیرین و بالایی آن با سازندهای آب دراز و پسته لیق به صورت ناپیوستگی فرسایشی است. ضخامت سازند کلات در برش چخماقلو ۱۳۹ متر است و لیتولوژی آن عمدتاً از سنگ آهک‌های خاکستری تا قهقهه‌ای رنگ و مقدار کمی مارن خاکستری روشن تا سفید رنگ تشکیل شده است. مرز زیرین سازند کلات در این برش با سازند آب دراز ناپیوسته و مرز بالایی آن با سازند چخماقلو پیوسته و تدریجی است. سازند چخماقلو یک واحد متشکل از مارن‌های سفید تا کرم رنگ و سنگ آهک‌های سفید تا خاکستری روشن است که از لحاظ فسیلی فقیر می‌باشد و بر اساس موقعیت چینه‌شناسی

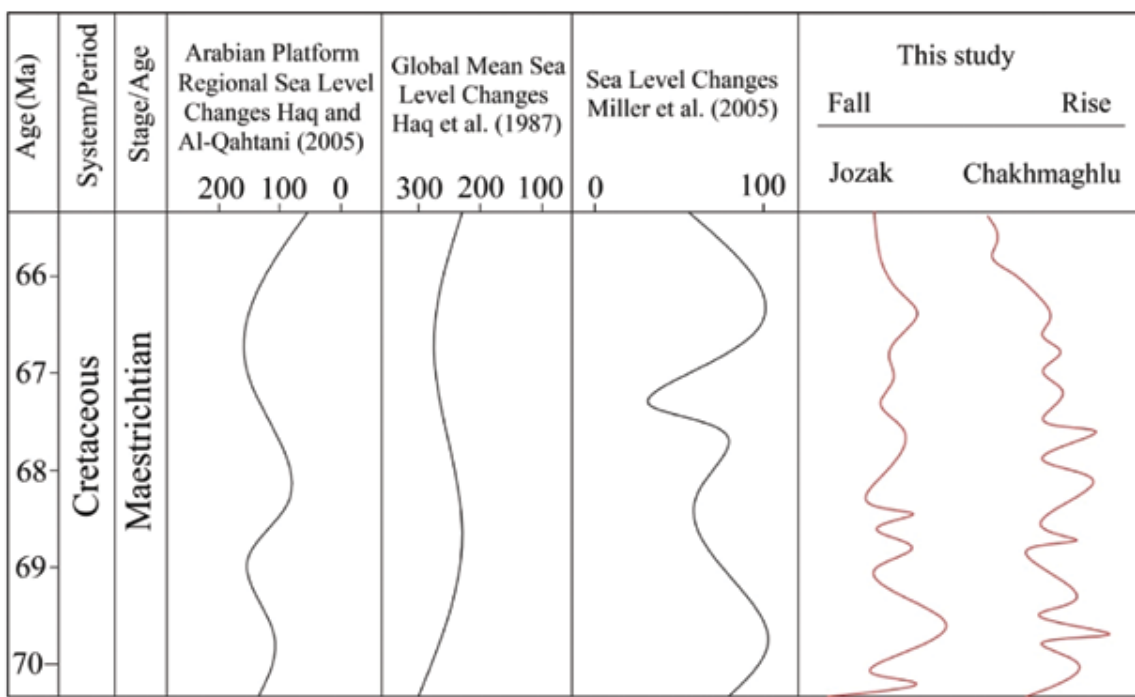
این سکانس در بخش زیرین سازند کلات شناسائی شد و به ترتیب در برش جوزک و چخماقلو ۶۱ و ۴۳ متر ضخامت دارد (شکل ۱۰). رخساره کنگلومراپی (A) به ضخامت چند سانتی‌متر در قاعده سازند کلات در برش جوزک بیانگر دسته رخساره تراز پایین آب دریا (LST) می‌باشد در حالی که این رخساره در برش چخماقلو شناسائی نشد. دسته رخساره تراز پیش روی آب دریا (TST) عمدتاً از رخساره‌های محیط سدی (B_5) و ابتدای دریای باز (B_8) تشکیل شده است. حداکثر پیش روی سطح آب دریا (MFS) توسط رخساره بایوکلاست و کستون (B_{10}) کوارت‌دار مربوط به محیط دریایی باز مشخص می‌شود. دسته رسوبی وابسته به سکون و آغاز پیش روی دریا (HST) عمدتاً شامل رخساره پکستون دارای فرامینیفر بنتیک و دولومیتی شده (B_9) می‌باشد که تحت تاثیر فرایند دولومیتی شدن قرار گرفته است. مرز بالایی این سکانس توسط رخساره بایوکلاست پکستون (B_4) مربوط به محیط لاغون نیمه محصور مشخص می‌شود. این سکانس از لحاظ سنی می‌تواند معادل با سکانس K180 در صفحه عربی باشد (Sharland et al., 2001; Simmons et al., 2007).

سکانس ۲

این سکانس در برگیرنده بخش میانی و بالایی سازند کلات می‌باشد و به ترتیب در برش جوزک و چخماقلو ۹۷ و ۹۴ متر ضخامت دارد (شکل ۱۰). رخساره محیط سدی غنی از بایوکلاست و اینتراکلاست (B_5) سازنده اصلی دسته رخساره تراز پیش روی آب دریا (TST) می‌باشد. حداکثر پیش روی سطح آب دریا (MFS) توسط رخساره بایوکلاست اکینوئید پکستون (B_9) مشخص می‌شود. دسته رسوبی وابسته به سکون و آغاز پیش روی دریا (HST) در برش جوزک، تجمعی از انواع رخساره‌های محیط سدی غنی از بایوکلاست، رودیست، اینتراکلاست و فرامینیفر بنتیک را نشان می‌دهد. این بسته رسوبی در برش چخماقلو به دو بخش پیشین (Early) و پسین (Late) قابل تقسیم است. بخش Early HST از رخساره‌های محیط سدی تشکیل شده است، اما بخش Late HST شامل رخساره مارن (B_3)



شکل ۱۰. تطابق سکانس‌های رسویی ارائه شده در برش‌های مورد مطالعه؛ سطح مبنا (Datum plane) بین سازندهای آب دراز و کلات قرار داده شده است



شکل ۱۱. مقایسه منحنی تغییرات سطح آب دریا در برش‌های مورد مطالعه با منحنی تغییرات سطح آب جهانی (Haq et al., 1987; Miller et al., 2005) و منحنی تغییرات سطح آب صفحه عربی (Haq and Al-Qahtani, 2005)

اینتراکلاست، فرامینیفر بنتیک و رو دیست سازنده اصلی بسته‌های رسوبی وابسته به سکون و آغاز پسروی دریا (HST) هستند. همچنین سه مرز سکانسی شناسائی شد. مرز سکانسی اول بین سازنده‌های آب دراز و کلات قرار دارد و به دلیل وجود سطح ناپیوستگی، مرز سکانسی نوع اول (SB1) است. مرز سکانسی دوم در سازنده کلات واقع شده و به دلیل نبود شواهد خروج از آب، مرز سکانسی نوع دوم (SB2) در نظر گرفته شد. مرز سکانسی سوم در برش جوزک بین سازنده‌های کلات و پستلیق قرار دارد و به دلیل شواهد خروج از آب و فرسایش گسترده رسوبات، مرز سکانسی نوع اول (SB1) می‌باشد درحالی که این مرز در برش چخماقلو بین سازنده‌های کلات و چخماقلو قرار دارد و به دلیل نبود شواهد خروج از آب، مرز سکانسی نوع دوم (SB2) در نظر گرفته شده است.

منابع

- افشار حرب، ع.، ۱۳۷۳. زمین‌شناسی کپه داغ، انتشارات زمین‌شناسی و اکتشافات معدنی کشور، ۶۰۶.
- Afshar-Harb, A., Soheili, M., and Valeh,

سن مائبتریشتن برای آن پیشنهاد شده است. مطالعات بایواستراتیگرافی سازنده کلات منجر به شناسائی ۳۲ جنس و ۱۵ گونه از فرامینیفرهای بنتیک و ۱۱ جنس و شش گونه از فرامینیفرهای پلانکتون گردید و بر این اساس یک زون زیستی (*Siderolites calcitrapoides-Sirtina orbitoidiformis*) در سازنده کلات شناسایی و معرفی شد. رسوب‌گذاری سازنده کلات در چهار محیط جزء و مدي، لagon ممحصور و نیمه ممحصور، سدی و دریایی باز در یک محیط کربناته رمپ با شبیه کم رخ داده است. مطالعات چینه‌نگاری سکانسی منجر به شناسائی دو سکانس رسوبی شد که از لحظه سنی معادل با سکانس K180 در صفحه عربی می‌باشند. رخساره کنگلومراپی تنها در قاعده سازنده کلات در برش جوزک شناسائی و بسته رسوبی پایین‌ترین سطح آب دریا (LST) را تشکیل می‌دهد. بسته‌های رسوبی پیشرونده (TST) عمده از رخساره‌های سدی و ابتدای دریایی باز تشکیل شده‌اند. حداقل پیشروی سطح آب دریا (MFS) توسط رخساره‌های دریایی باز غنی از اکینوئید، جلبک قرمز و فرامینیفر پلانکتونیک مشخص می‌شود. رخساره‌های جزء و مدي، لagon و سدی حاوی بایوکلاست،

- N., 1978. Kurkhud geological map 1/250000. Geological Survey of Iran, 13.
- Afshar-Harb, A., 1994. Geology of the Iranian Kopet-Dagh. Geological Survey of Iran, Tehran, 265 (in Persian).
 - Berberian, M., and King, G.C.P., 1981. Towards a paleogeography and tectonic evolution of Iran. Canadian Journal of Earth Sciences, 18, 210-265.
 - Blair, T.C., 1987. Sedimentary processes, vertical stratification sequences, and geomorphology of the Roaring River alluvial fan, Rocky Mountain National Park, Colorado. *Journal of Sedimentary Petrology*, 57, 1-18.
 - Blair, T. C., and McPherson, J. G., 1994a. Alluvial fans and their natural distinction from rivers based on morphology, hydraulic processes, sedimentary processes, and facies. *Journal of Sedimentary Research*, 64, 451-490.
 - Burchette, T.P., and Wright, V.P., 1992. Carbonate ramp depositional systems. *Sedimentary Geology*, 79, 3-57.
 - Burchette, T. P., 1993. Mishrif Formation (Cenomanian-Turonian), Southern Arabian gulf, Carbonate platform growth along a cratonic basin margin. In: Simo, J. A. T., Scott, R. W., and Masse J-P., (eds.), Cretaceous carbonate platforms. American Association of Petroleum Geologist Bulletin, 56, 185-200.
 - Carannanate, G., Ruberti, D., and Sirna, M., 2000. Upper Cretaceous low energy ramp limestones from the Sorrento Peninsula (southern Apennines, Italy): micro and macrofossil associations and their significance in the depositional sequences. *Sedimentary Geology*, 132, 89-124.
 - Caron, M., 1985. Cretaceous planktic foraminifera. In: Perch-Nielsen, K., Saunders, J.B. and Bolli, H.M., (eds.), Plankton Stratigraphy. Cambridge University Press, Cambridge, 17 - 86.
 - Dunham, R.J., 1962. Classification of carbonate rocks according to depositional texture. In: Ham, W.E. (Ed.), Classification of Carbonate Rocks. AAPG Memoir, 1, 108-121.
 - Embry, A.F.I., and Klovan, J.E., 1972. Absolute water depth limits of Late Devonian paleoecological zones. *Geology Rundsch*, 61, 672-686.
 - Emery, D., and Myers, K.J., 1996. Sequence Stratigraphy. Oxford, United Kingdom, Blackwell, 297.
 - Folk, R.L., 1974. Petrology of Sedimentary Rocks. Hamphill, Austin, Texas, 182.
 - Flugel, E., 2010. Microfacies of Carbonate Rocks, Analysis, Interpretation and Application. Springer, Berlin, 976.
 - Ginsburg, R. N., and Hardie, L. A., 1975. Tidal and storm deposits Northwest-ern Andros Island, Bahamas. In: Ginsburg, R.N., (ed.). Tidal Deposits, 23, 201-208.
 - Haq, B.U., Hardenbol, J., and Vail, P.R., 1987. Chronology of fluctuating sea level since the Triassic. *Science*, 235, 1156-1166.
 - Haq, B.U., and Al-Qahtani, A.M., 2005. Phanerozoic cycles of sea-level change on the Arabian Platform. *GeoArabia*, 10, 127-160.
 - Harris, M.K., Thayer, A.A., and Amidon, M.A., 1997. Sedimentology and depositional environments of Middle Eocene terrigenous-carbonate strata, southeastern Atlantic coastal plain. *Sedimentary Geology*, 108, 141-161.
 - Heckel, P.H., 1972. Recognition of ancient shallow marine environments. In: Rigby, J.K., and Hamblin, W.K. (eds.), Recognition of ancient sedimentary environments, SEPM Special Publication, 16, 226-286.
 - Hofker, J., 1957. Foraminiferen der Oberkreide von Nordwestdeutschland und Holland. Amt für Bodenforschung, Hannover, 464.

- Kalantari, A., 1987. Biofacies Map of the Kopet-Dagh Region. National Iranian Oil Company, Exploration and Production Group, Tehran.
- Loeblich, A. R., Jr. and Tappan, H., 1988. Foraminiferal Genera and their Classification. Van Nostrand Rienhold, New York, 970.
- Lyberis, N., Manby, G., Poli, J.T., Kalgan, V., Yousouphocaev, H., and Ashirov, T., 1998. Post Triassic evolution of the southern margin of the Turan plate. *Comptes Rendus Academic Sciences Paris*, 326, 137-143.
- Miller, K.G., Wright, J.D., and Browning, J.V., 2005. Visions of ice sheets in a greenhouse world. *Marine Geology*, 217, 215-231.
- Mutti, M., and Simo, J.A., 1994. Distribution, petrography and geochemistry of dolomite in cyclic shelf facies, Yates formation (Guadalupian), Capitan Reef Complex, USA. International Association Sedimentologists Special Publications, 21, 91-107.
- Postuma, J.A., 1971. Manual of Planktonic Foraminifera. Elsevier, Amsterdam, 420.
- Read, J., 1985. Carbonate platform facies models. *AAPG Bulletin*, 69, 1-21.
- Robaszynski, F., and Caron, M., 1995. Foraminifères planctoniques du Crétacé: commentaire de la zonation Europe- Méditerranée. *Bulletin Society Geology, France*, 166, 681-692.
- Robaszynski, F., Caron, M., Gonzales-Donoso, J.M., Wonders, A.A.H. and the European Working Group on Planktonic Foraminifera, 1984. Atlas of Late Cretaceous globotruncanids. *Revista Micropaleontologia*, 26, 145-305.
- Scholle, P.A., and Arthur, M.A., 1980. Carbon isotope fluctuation in Cretaceous pelagic limestone: potential stratigraphic and petroleum exploration tool. *AAPG Bulletin*, 64, 67-87.
- Scholle, P. A., and Scholle Dana, S. U., 2006. A Color Guide to the Petrography of Carbonate Rock: Grain, Texture, Porosity, Diagenesis. American Association Petroleum Geologist Bulletin, 549.
- Sharland, P.R., archer, R., Casey, D.M., Davis, R.B., Hall, S.H., Heward, A.P., Horbury, A.D., and Simmons, M.D., 2001. Arabian Plate sequence stratigraphy, *GeoArabia Special Publication 2*, Gulf PetroLink, Bahrain, 371.
- Shinn, G., 1983. Tidal flat environment. In: Scholle, P.A., Bebout, D.G., and Moore, C.H., (eds.), *Carbonate Depositional Environments*. AAPG Memoir, 33, 171-210.
- Sliter, W.V., 1972. Upper Cretaceous planktonic foraminiferal zoogeography & ecology-eastern Pacific margin. *Palaeogeography, Palaeoclimatology, Palaeoecology*, 12, 15-31.
- Simmons, M.D., Sharland, P.R., Casey, D.M., Davies, R.B., and Sutcliffe, O. E., 2007. Arabian Plate sequence Stratigraphy: Potential implication for global chronostratigraphy. *Geo Arabia*, 12, 101-130.
- Smith, N. D., 1974. Sedimentology and bar formation in the upper Kicking Horse River, a braided outwash stream. *Journal of Geology*, 82, 205-223.
- Smith, A. G., Smith, D. G., and Funnel, B. M., 1994. *Atlas of Mesozoic and Cenozoic landmasses*. Cambridge University Press, Cambridge, 99.
- Stocklin, J., 1971. Stratigraphic Lexicon of Iran. Ministry of industry and mines. Geological Survey of Iran, Report Number 18.
- Stocklin, J., 1974. Possible ancient continental margin in Iran. In: Burk, C.A., and Drake, C.L. (eds.), *The Geology of Continental Margins*. Springer, Berlin, Heidelberg, New York, 873-887.
- Tomasovich, A., 2004. Microfacies and depositional environment of an Upper Triassic

- intra-platform carbonate basin: the Fatic Unit of West Carpathians (Slovakia). *Facies*, 50, 77-105.
- Tucker, M.E., and Wright, P., 1990. *Carbonate Sedimentology*. Blackwell Scientific Publication, Oxford, 482.
 - Vail, P.R., Hardenbol, J., and Todd, R.G., 1984. Jurassic unconformities, chronostratigraphy and sea-level changes from seismic stratigraphy and biostratigraphy. In: Schlee, J.S., (eds), *Interregional unconformities and hydrocarbon accumulation*. AAPG Memoir, 36, 129-144.
 - Van Wagoner, J.C., Mitchum, R.M., Campion, K.M., and Rahmanian, V.D., 1990. Siliciclastic sequence stratigraphy in well log, cores, and outcrops: Concepts of high-resolution correlation of time and facies. *American Association Petroleum Geologist Bulletin*, 7, 1-55.
 - Warren, J., 2000. Dolomite: occurrence, evolution and economically important association. *Earth Science Reviews*, 52, 1-81.
 - Wilson, J.L., 1975. *Carbonate Facies in Geologic History*. Springer-Verlag, Berlin, 471.
 - Wilson, M. E. J., and Evans, M. E. J., 2002. Sedimentology and diagenesis of Tertiary carbonates on the Mangkalihat Peninsula, Borneo: implications for subsurface reservoir quality. *Marine and Petroleum Geology*, 19, 873-900.
 - Wonders, A. A., 1980. Middle and late Cretaceous planktonic Foraminifera of the western Mediterranean area. *Utrecht Micropaleontology Bulletin*, 24, 1-158.
 - Zhicheng, Z., Willem, H., and Binggao, Z., 1997. Marine Cretaceous-Paleogene biofacies and ichnofacies in southern Tibet, China, and their sedimentary significance. *Marine Micropaleontology*, 32, 3-29.